

شناسایی خواص تشدیدگرهای دی‌الکتریک با استفاده از روش انتگرال کانتور چندمدی

سید علی هاشمی^(۱) - علی بنایی^(۲)

(۱) استادیار - گروه مهندسی برق، دانشگاه آزاد اسلامی، واحد شهر مجلسی

(۲) دانشیار - دانشکده مهندسی برق، دانشگاه صنعتی شریف

تاریخ پذیرش: زمستان ۱۳۸۹

تاریخ دریافت: پاییز ۱۳۸۸

خلاصه: روش انتگرال کانتور چندمدی یکی از روشهای تحلیل و طراحی مدارهای موجبری صفحه H است. این روش تأثیر مدهای مرتبه بالاتر غیرانتشاری را که به دلیل وجود ناپیوستگی در ساختار موجبری ایجاد شده و در نزدیکی ناپیوستگی انرژی قابل ملاحظه‌ای دارند، در نظر می‌گیرد. این ویژگی موجب بالا رفتن دقت روش در تحلیل و یا طراحی مدارهای موجبری با ساختار پیچیده می‌شود. در این مقاله قصد داریم از توانمندی این روش در شناسایی خواص تشدیدگرهای دی‌الکتریک مانند فرکانس تشدید و ثابت دی‌الکتریک استفاده کنیم تا طراحی فیلترهای DR با دقت بالاتری انجام گرفته و نیاز به بهینه‌سازی و تنظیمات نهایی فیلتر را به حداقل برساند. مقایسه نتایج روش پیشنهادی با نتایج حاصل از سایر روشها، دقت روش پیشنهادی را ارزیابی خواهد کرد.

کلمات کلیدی: روش انتگرال کانتور چندمدی، ناپیوستگی صفحه H، تشدیدگر دی‌الکتریک، ماتریس پراکندگی

۱- مقدمه

این مقاله قصد داریم از روش انتگرال کانتور چندمدی در شناسایی ویژگیهای تشدیدگرهای دی‌الکتریک استفاده کنیم. لذا در ادامه و در بخش (۲) روش انتگرال کانتور را اجمالاً معرفی می‌کنیم. در بخش (۳) نحوه تحلیل محیطهای چندگانه، مانند موجبرهای حاوی تیرکهای دی‌الکتریک، با روش انتگرال کانتور چندمدی را ارائه می‌کنیم. در بخش (۴) مثالهایی در این خصوص ارائه و نتایج کسب شده با سایر روشها مقایسه می‌شوند. نهایتاً در بخش (۵) به جمع‌بندی مطالب خواهیم پرداخت.

۲- روش انتگرال کانتور

روش انتگرال کانتور یکی از روشهای تحلیل مدارهای صفحه ای است. در این روش ولتاژ RF در نقطه دلخواه s_0 روی مرز پیرامون مدار، C، توسط معادله (۱) داده می‌شود [۷]:

$$V(s_0) = \frac{1}{j4} \oint_C \{k \cos \theta H_1^{(2)}(kr) V(s) - j\omega \mu b H_0^{(2)}(kr) J(kr)\} ds \quad (1)$$

کاربرد مواد دی‌الکتریک در فرکانس‌های رادیویی برای اولین بار توسط رایلی در سال ۱۸۹۷ مطرح شد [۱]. یک تشدیدگر دی‌الکتریک^۱ (DR)، قطعه‌ای از عناصر عایق با ثابت دی‌الکتریک بالا است که در شکل‌های مختلفی مانند استوانه، مکعب، و غیره ساخته می‌شود. ویژگی بارز DRها، بالا بودن ضریب کیفیت (Q) و پایداری حرارتی آنهاست. اکنون دی‌الکتریک‌هایی با تلفات بسیار کم در دسترسند که قادرند ضریب کیفیت 50000 یا حتی بیشتر فراهم نمایند. از تشدیدگرهای دی‌الکتریک در ساخت فیلترهای موجبری استفاده می‌شود [۲و۳]. بنابراین لازم است فرکانس تشدید و ثابت دی‌الکتریک آنها با دقت بالایی شناسایی گردد تا فیلتر طراحی شده نیازی به تنظیمات نهایی نداشته باشد. این کار معمولاً با تحلیل میدانی موجبر حاوی DR انجام می‌گیرد که مستلزم صرف زمان و هزینه‌های محاسباتی زیادی است [۴]. روش انتگرال کانتور چندمدی یکی از روشهای کارآمد در تحلیل مدارهای موجبری صفحه H است که استفاده از آن در مقایسه با سایر روشها موجب صرفه جویی قابل ملاحظه‌ای در زمان و سایر هزینه‌های محاسباتی می‌شود [۷-۵]. در

با بکارگیری شرط اتصال کوتاه روی زیر دهانه های پیرامون مدار موجبری، ماتریس ادمیتانس دهانه های موجبری، $[Y]$ ، از روی ماتریس ادمیتانس کل، $[Y_T]$ ، استخراج می گردد [۵].
با معرفی امپدانس موجبر در مد TE_{10} برای موجبری با سطح مقطع $a \times b$:

$$Z_0 = 120\pi \frac{b}{a} \frac{1}{\sqrt{1 - (\lambda/2a)^2}} = \frac{b}{a} Z_{TE_{10}} \quad (4)$$

ماتریس پراکندگی دهانه های موجبری را می توان به صورت معادله (۵) به دست آورد:

$$[S] = \left(Y_0 [E] + [Y] \right)^{-1} \left(Y_0 [E] - [Y] \right) \quad (5)$$

که در آن Y_0 ادمیتانس موجبر در مد TE_{10} بوده و $[E]$ ماتریس واحد می باشد.

همانگونه که اشاره شد، در روش انتگرال کانتور تک مدی بخشهای مستقیم موجبری در طرفین صفحه مرجع مورد نیازند. این مسئله موجب بزرگ شدن ابعاد مدار و در نتیجه افزایش تعداد زیردهانه ها در مرز مدار می گردد که در نهایت منجر به افزایش هزینه های محاسباتی خواهد شد. اما چنانچه فاصله بین ناپیوستگی های موجود در موجبر کم باشد، در نظر نگرفتن اثر مدهای مرتبه بالاتر منطقی به نظر نمی رسد. زیرا اندازه توان مختلط جاری درون مدهای میرا در اطراف ناپیوستگی قابل ملاحظه بوده و لازم است با محاسبه ماتریس پراکندگی کلی مدار، این اثر را تعیین کرد تا تحلیل مدار موجبری با دقت بالاتری صورت پذیرد. اینها دلایلی برای معرفی روش انتگرال کانتور "چند مدی" هستند. در این روش فرض می کنیم که علاوه بر مد غالب TE_{10} ، $M-1$ مد مرتبه بالاتر $(TE_{20}, TE_{30}, \dots, TE_{M0})$ روی صفحات مرجع حضور دارند.

با فرض اینکه محور x در امتداد صفحه مرجع باشد، وابستگی فضایی ولتاژ و چگالی جریان مد n -ام به صورت زیر خواهد بود:

$$v_n(x) = V_{pn} \sin\left(\frac{n\pi}{a} x\right) \quad (6)$$

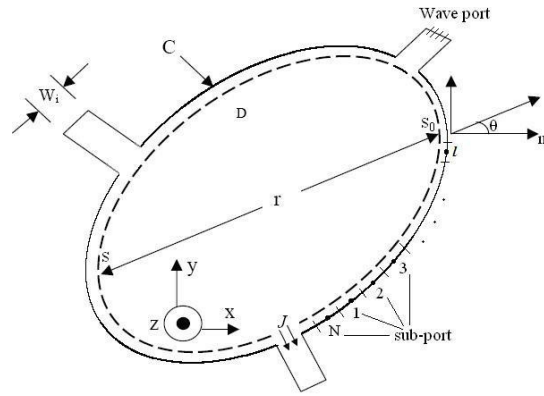
$$j_n(x) = J_{pn} \sin\left(\frac{n\pi}{a} x\right)$$

ولتاژ و جریان هر زیر دهانه روی صفحات مرجع را می توان به صورت ترکیب خطی از ولتاژ و جریان مدهای مختلف نوشت:

$$\begin{pmatrix} V_{S_1} \\ \vdots \\ V_{S_M} \end{pmatrix} = \begin{pmatrix} \alpha_{11} V_1 + \dots + \alpha_{1M} V_M \\ \vdots \\ \alpha_{M1} V_1 + \dots + \alpha_{MM} V_M \end{pmatrix} = [\alpha](V) \quad (7)$$

$$\begin{pmatrix} I_{S_1} \\ \vdots \\ I_{S_M} \end{pmatrix} = \begin{pmatrix} \beta_{11} I_1 + \dots + \beta_{1M} I_M \\ \vdots \\ \beta_{M1} I_1 + \dots + \beta_{MM} I_M \end{pmatrix} = [\beta](I)$$

که در آن V_n و I_n ($n=1, 2, \dots, M$) متوسط ولتاژ و جریان مد TE_{n0} بوده و به صورت زیر تعریف می شوند:



شکل (۱): مدار صفحه ای و معرفی سمبل های استفاده شده در معادله (۱)
Fig. (1): The planer circuit and the symbols used in equation (1)

در این معادله، $H_0^{(2)}$ و $H_1^{(2)}$ بترتیب توابع هنکل^۲ مرتبه صفر و مرتبه اول نوع دوم می باشند. k عدد موج، ω فرکانس زاویه ای، و μ نفوذپذیری محیط می باشند. ضمناً b ارتفاع مدار است.

برای انجام محاسبات عددی، مسیر پیرامون مدار به N زیردهانه با عرض دلخواه، اما بر مراتب کوچکتر از طول موج، تقسیم شده و نقطه میانی هر زیر دهانه به عنوان نقطه نمونه برای محاسبه ولتاژ و جریان انتخاب می شود. در شکل (۱) قواعد کلی روش انتگرال کانتور روی یک مدار صفحه ای چند دهانه ای همراه با سمبلها و متغیرهای استفاده شده در معادله (۱) ارائه شده است.

نوشتن معادله (۱) در این نقاط نمونه، منجر به یک دستگاه N معادله ای می شود که نمایش ماتریسی آن معادله (۲) خواهد بود:

$$[U]_{N \times N} (V_S)_N = [H]_{N \times N} (I_S)_N \quad (2)$$

از معادله (۲)، ماتریس ادمیتانس مدار N زیر دهانه ای به صورت زیر تعیین می شود:

$$[Y_T] = [H]^{-1} [U] \quad (3)$$

از روش انتگرال کانتور می توان برای تحلیل مدارهای موجبر مستطیلی، که فاقد هرگونه تغییر در ارتفاع موجبر باشند، نیز استفاده کرد. در این مدارها، که به مدارهای صفحه H -موجبری معروفند، فقط مدهای TE_{n0} تحریک می شوند.

در روش انتگرال کانتور مرسوم که در برخی از کتب و مقالات به آن اشاره شده است، فقط اثر مد غالب انتشاری (TE_{10}) در نظر گرفته می شود [۸]. لذا برای تطبیق میدانهای درون مدار و مد غالب موجبری روی صفحات مرجع، یعنی صفحه ای که اندازه گیری کمیات مورد نظر روی آن انجام می گیرد، از بخشهای مستقیم موجبری با طول مناسب (حدوداً $\lambda/2$) در دو طرف صفحات مرجع استفاده می شود تا بتوان از اثر مدهای مرتبه بالاتر که در محل ناپیوستگی به وجود می آیند، صرف نظر کرد. به همین دلیل می توان آن را روش انتگرال کانتور "تک مدی" نیز نامید.

در این معادله بالانویسهای p ، q ، $Post$ و sc به ترتیب اشاره به زیردهانه‌های روی دهانه‌های موجبری p و q ، مرز پیرامونی تیرک و بخشهای اتصال کوتاه مدار دارد.

با روشی مشابه، رابطه ولتاژ-جریان در ناحیه II به دست می‌آید:

$$[U_{II}][V_{II}^{Post}] = [H_{II}][I_{II}^{Post}] ; \text{ on } C_2 \quad (12)$$

هدف اصلی در روش انتگرال کانتور، تعیین رابطه ولتاژ-جریان روی دهانه‌های موجبری p و q است. این هدف با اعمال شرایط مرزی روی فصل مشترک دو ناحیه و استفاده از معادلات (۱۱) و (۱۲) تحقق می‌یابد. در مرجع [۷] معادلات نهایی ولتاژ-جریان به صورت زیر ارائه شده‌اند:

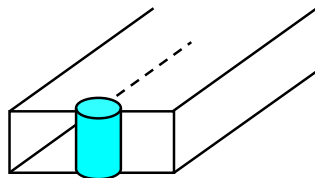
$$\begin{aligned} (I^p) &= \left\{ [Y_{I^{p,p}}] - [C^p][A][Y_{I^{Post,p}}] \right\} (V^p) + \\ &\quad \left\{ [Y_{I^{p,q}}] - [C^p][A][Y_{I^{Post,q}}] \right\} (V^q) \\ (I^q) &= \left\{ [Y_{I^{q,p}}] - [C^q][A][Y_{I^{Post,p}}] \right\} (V^p) + \\ &\quad \left\{ [Y_{I^{q,q}}] - [C^q][A][Y_{I^{Post,q}}] \right\} (V^q) \end{aligned} \quad (13)$$

با تعیین رابطه ولتاژ-جریان دهانه‌های موجبری، ماتریس پراکندگی مدار شناسایی خواهد شد.

۴- نتایج شبیه سازی

به منظور ارزیابی نتایج روش انتگرال کانتور، در این بخش به بررسی چند مدار موجبری صفحه-H که در سایر مقالات به آنها اشاره شده است، می‌پردازیم.

در اولین مثال یک موجبر حاوی تیرک دی الکتریک تحلیل می‌شود. این مدار در شکل (۳) نشان داده شده است. یک تیرک استوانه‌ای دی الکتریک با شعاع $0.05a$ در مرکز سطح مقطع موجبر مستطیلی با پهنای a مستقر شده است. طول موج فضای آزاد 0.7 طول موج قطع مد TE_{10} انتخاب شده است. شکل (۴) اندازه ضریب انعکاس را به صورت تابعی از ثابت دی الکتریک نشان داده و آن را با نتایج ارائه شده در مرجع [۴] مقایسه می‌کند. در روش انتگرال کانتور چندمدی روی دهانه‌های موجبری 15 مد در نظر گرفته شده است. ملاحظه می‌شود که روش انتگرال کانتور نیز مانند مرجع [۴] شرط تشدید را در ثابت دی الکتریک $\epsilon_r = 112.5$ نشان می‌دهد.



شکل (۳): موجبر مستطیلی حاوی تیرک دی الکتریک
Fig. (3): The rectangular wave guide and a dielectric rod

$$V_n = \frac{1}{a/n} \int_0^{a/n} V_{pn} \sin\left(\frac{n\pi}{a}x\right) dx \quad (8)$$

$$I_n = \int_0^{a/n} J_{pn} \sin\left(\frac{n\pi}{a}x\right) dx$$

عناصر ماتریسهای ضرایب $[\alpha]$ و $[\beta]$ نیز به صورت زیر تعریف می‌شوند:

$$\begin{aligned} \alpha_{mn} &= \frac{M}{n} \sin\left(\frac{2m-1}{2M}n\pi\right) \sin\left(\frac{n\pi}{2M}\right) \\ \beta_{mn} &= \sin\left(\frac{2m-1}{2M}n\pi\right) \sin\left(\frac{n\pi}{2M}\right) \\ m, n &= 1, 2, \dots, M \end{aligned} \quad (9)$$

روی صفحات مرجع، مدهای مرتبه بالاتر غیر انتشاری بوده و فقط مد غالب TE_{n0} انتشار می‌یابد. پس می‌توان فرض کرد که مدهای مرتبه بالاتر به امیدانس مشخصه راکتیو خود ختم شده‌اند [۸]:

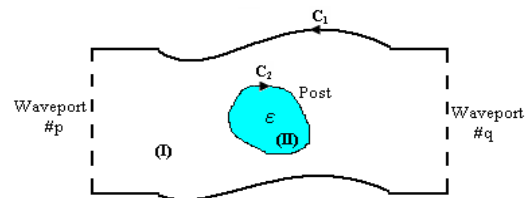
$$Z_{n0} = \frac{V_n}{I_n} = j120\pi \frac{b}{a/n} \frac{1}{\sqrt{\left(\frac{n\lambda}{2a}\right)^2 - 1}} \quad (10)$$

با روشی مشابه آنچه که در انتگرال کانتور تک مد عمل می‌شود، ماتریس پراکندگی کلی مدار 3 (GSM) که شامل اثر مدهای مرتبه بالاتر است، به دست می‌آید. با تعیین شدن GSM، اطلاعات مورد نیاز شامل ضرایب انعکاس و انتقال مدهای مختلف از جمله مد غالب TE_{n0} قابل محاسبه‌اند.

۳- تحلیل محیط‌های چندگانه

محیط‌های چندگانه به محیط‌هایی گفته می‌شود که از چند محیط همگن متفاوت تشکیل شده باشند. در تحلیل محیط‌های چندگانه با روشهای مرزی مانند روش انتگرال کانتور لازم است برای هر زیر ناحیه همگن معادلاتی متناسب با شرایط آن ناحیه پایه‌ریزی کرد.

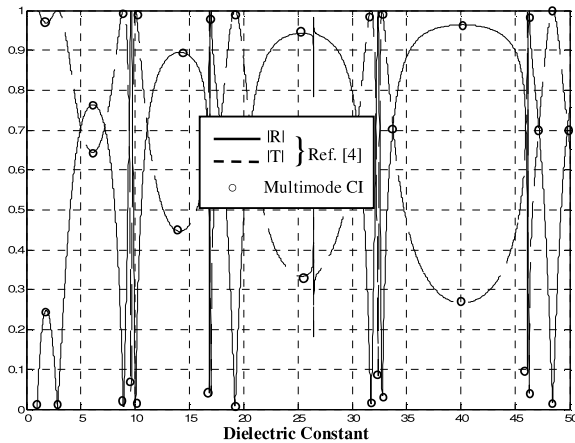
برای اجرای روش انتگرال کانتور، مدار موجبری صفحه-H شکل (۲) را که حاوی یک تیرک دی الکتریک است، در نظر بگیرید. این مدار از دو ناحیه همگن متفاوت تشکیل شده است. ابتدا هر دهانه موجبری را به m و مرز پیرامونی تیرک را به M زیردهانه تقسیم می‌کنیم.



شکل (۲): نمای فوقانی مدار موجبری صفحه-H حاوی یک تیرک دی الکتریک
Fig. (2): The upper view of H-plan wave guide circuit having a dielectric rod

بازنویسی معادله (۳) برای ناحیه I نتیجه می‌دهد که:

$$[U_I] \begin{pmatrix} (V^p) \\ (V^q) \\ (V_I^{Post}) \\ (0) \end{pmatrix} = [H_I] \begin{pmatrix} (I^p) \\ (I^q) \\ (I_I^{Post}) \\ (I^{sc}) \end{pmatrix} ; \text{ on } C_1 + C_2 \quad (11)$$

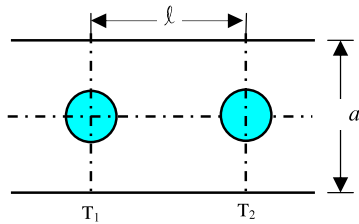


شکل (۶): دامنه ضرایب انعکاس و انتقال تیرک عایق برحسب ثابت

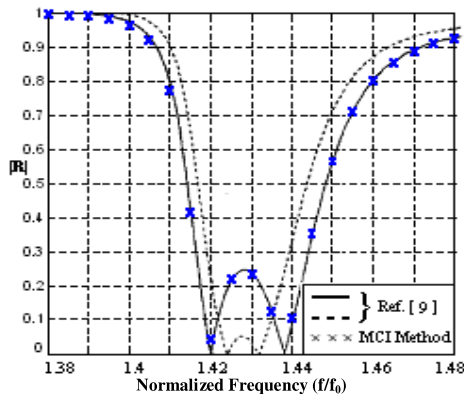
دی‌الکتریک با $r/a = 0.25$ و $\lambda_0/\lambda_{c10} = 0.6366$

Fig. (6): The amplitude of reflection coefficient and transport of dielectric rod as a function of dielectric constant for $r/a = 0.25$ and $\lambda_0/\lambda_{c10} = 0.6366$

مثال بعدی، یک مدار موجبری حاوی دو تیرک دی‌الکتریک استوانه‌ای می‌باشد. تیرک‌ها دارای شعاع نسبی $r/a = 0.05$ و ثابت دی‌الکتریک $\epsilon_r = 112.5$ بوده و در وسط موجبر قرار گرفته‌اند. در شکل (الف) [الف] نمای فوقانی این مدار و در شکل (ب) [ب] دامنه ضرایب انعکاس برحسب فرکانس نرمالیزه f/f_{c10} نشان داده شده‌اند.



(الف)

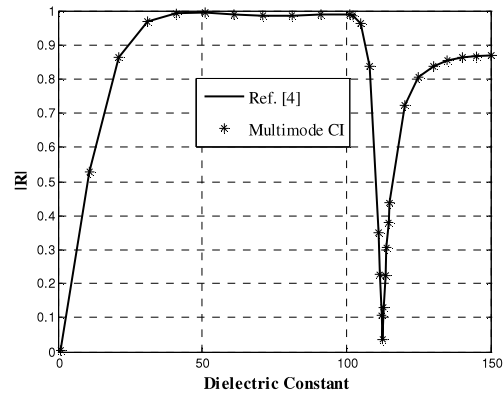


(ب)

شکل (۷): دامنه ضرایب انعکاس در موجبر مستطیلی حاوی دو تیرک

دی‌الکتریک استوانه‌ای ($\epsilon_r = 112.5$)

Fig. (7): The amplitude of reflection coefficient in a rectangular wave guide having two cylindrical dielectric rod ($\epsilon_r = 112.5$)



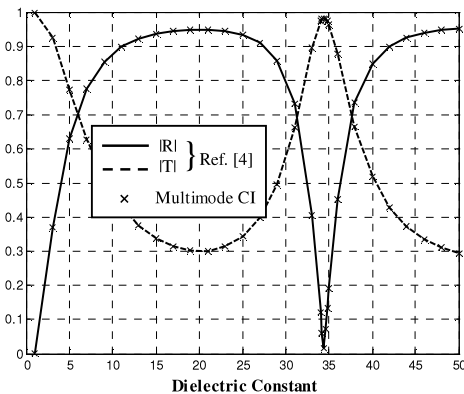
شکل (۴): دامنه ضرایب انعکاس به صورت تابعی از ثابت دی‌الکتریک با

$\lambda_0/\lambda_{c10} = 0.7$ و $r/a = 0.05$

Fig. (4): The amplitude of reflection coefficient in term of dielectric constants for $r/a = 0.05$ and $\lambda_0/\lambda_{c10} = 0.7$

شکل (۵) نتایج به دست آمده با روش انتگرال کانتور چندمدی را با احتساب ۱۳ مد برای اندازه ضرایب انعکاس و انتقال مدار موجبری شکل (۳) با رای نسبت طول موج $\lambda_0/\lambda_{c10} = 0.799$ و $r/a = 0.1$ نشان می‌دهد. مشاهده می‌شود که تغییرات $|R|$ و $|T|$ با ثابت دی‌الکتریک عکس یکدیگر است. در طراحی فیلتر، لازم است ثابت دی‌الکتریک تیغه برابر $\epsilon_r = 34.4$ انتخاب شود.

شکل (۶) تغییرات دامنه ضرایب انعکاس و انتقال را برحسب ثابت دی‌الکتریک برای تیرکی با $r/a = 0.25$ و $\lambda_0/\lambda_{c10} = 0.6366$ نشان می‌دهد. ملاحظه می‌شود که تعداد زیادی ماکزیمم و مینیمم وجود دارد که این موجب آزادی عمل در انتخاب دی‌الکتریک می‌شود.

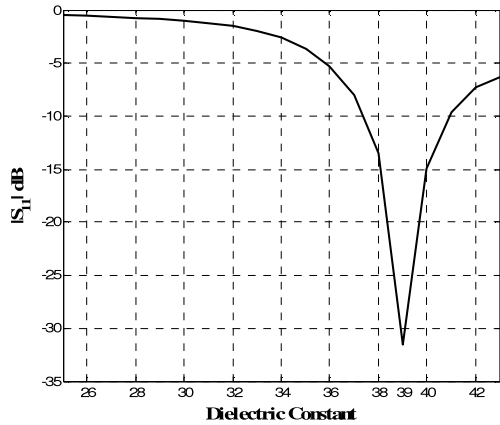


شکل (۵): ضرایب انعکاس و انتقال به صورت تابعی از ثابت دی‌الکتریک به

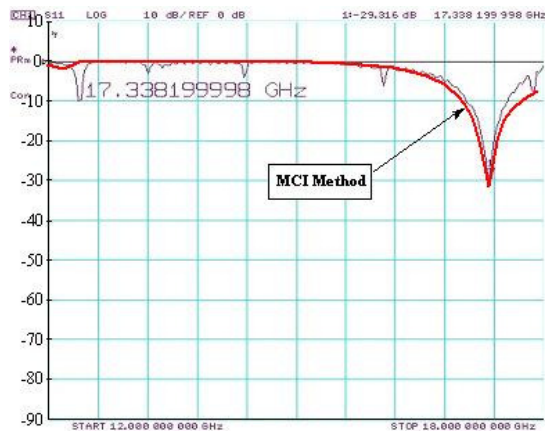
ازای $\lambda_0/\lambda_{c10} = 0.799$ و $r/a = 0.1$

Fig. (5): The reflection and transmission coefficient as a function of dielectric constant for $r/a = 0.1$ and

$\lambda_0/\lambda_{c10} = 0.799$



شکل (۱۰): منحنی تغییرات S_{11} بر حسب ثابت دی الکتریک DR
Fig. (10): The variations of S_{11} as a function of dielectric constant DR



شکل (۱۱): مقایسه نتایج انتگرال کانتور چندمدی با نتایج اندازه گیری شده برای DRهای استفاده شده در LNB آنتن ماهواره

Fig. (11): The comparison of the multimode counter integral with experimental results for DRs used in satellites LNB antenna

۵- نتیجه گیری

در این مقاله از روش انتگرال کانتور چندمدی برای شناسایی مشخصات DRها مانند فرکانس تشدید و در مسئله معکوس تعیین ثابت دی الکتریک استفاده شد. ویژگی بارز این روش، توجه به مدهای مرتبه بالاتر غیرانتشاری است که در نزدیکی ناپیوستگی حضور داشته و از انرژی بالایی برخوردارند. اعتبار و دقت این روش در مقایسه با سایر روشها ارزیابی و تأیید شد. تلاش برای تعیین تعداد مناسب مد روی دهانه های موجبری در روش انتگرال کانتور چندمدی به کارهای بعدی موکول می گردد.

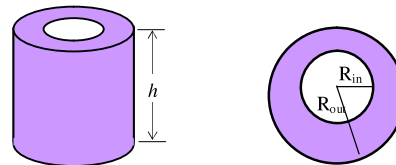
پی نوشت:

- 1- Dielectric Resonator
- 2- Hankel Function
- 3- Generalized Scattering Matrix
- 4- Low Noise Block converter

برای تحلیل این مدار، تعداد ۱۵ مد استفاده شده است. مقایسه نتایج حاصل از روش انتگرال کانتور چندمدی با نتایج ارائه شده در مرجع [۹]، حاکی از دقت بالای روش انتگرال کانتور است.

در آخرین مثال، اقدام به تعیین ثابت دی الکتریک DRهای مورد استفاده در LNB^۴ آنتنهای ماهواره ای کرده ایم. شکل (۸) شمای کلی این تشدیدگرها را نشان می دهد. این DRها به شکل واشر بوده و دارای ابعاد $R_{in}=0.99$, $R_{out}=2.418$, $h=2.1$ mm می باشند. از آنجائی که اطلاعات دقیقی در مورد ثابت دی الکتریک این تشدیدگرها در دسترس نبود، بر اساس حدس های موجود در خصوص حدود تقریبی ϵ_r ، یک تیرک استوانه ای به ارتفاع موجبر WR-62 یعنی 7.9 mm

تولید و در مرکز موجبر قرار داده شد. پاسخ فرکانسی مدار برای پارامتر S_{11} با کمک دستگاه تحلیل گر شبکه در باند ku تعیین گردید. این پاسخ در شکل (۹) نشان داده شده است. همانگونه که در این شکل واضح است کمترین مقدار S_{11} در فرکانس $f_0 = 17.338$ GHz رخ می دهد. با شبیه سازی مدار و استفاده از روش انتگرال کانتور چندمدی منحنی تغییرات S_{11} بر حسب ثابت دی الکتریک در فرکانس f_0 ترسیم گردید. این نمودار در شکل (۱۰) ترسیم شده است. از این نمودار ثابت دی الکتریک $\epsilon_r = 39$ تعیین شد. به منظور اطمینان از نتایج شبیه سازی، پاسخ فرکانسی مدار با نتایج عملی در شکل (۱۱) مقایسه شده اند. این مقایسه دقت روش انتگرال کانتور چندمدی عددی را تأیید می کند.



شکل (۸): شکل ظاهری DR مورد استفاده در LNB آنتن ماهواره
Fig. (8): The appearance of DR used in satellite antenna



شکل (۹): اندازه گیری پارامتر S_{11} برای قطعه دی الکتریک مجهول
Fig. (9): The measurement of S_{11} parameter for an unknown dielectric

مراجع

- [1] I.C. Hunter, "Theory and design of microwave filters", IEE, 2001.
- [2] C. Bachiller, et al., "Efficient CAD tool of direct-coupled-cavities filters with dielectric resonators", IEEE AP-S, Vol.1B, pp.578-581, 2005.
- [3] C. Bachiller, et al., "CAD of evanescent mode waveguide filters with circular dielectric resonators", IEEE AP-S, pp.1567-1570, 2006.
- [4] J.N. Sahalos, E. Vafiadis, "On the narrow-band microwave filter design using a dielectric rod", IEEE Trans. Microw. Theo. Tech., Vol.33, No.11, pp.1165-1171, Nov. 1985.
- [5] A. Hashemi, A. Banai, "Analysis of waveguide filters with dielectric resonators using multimode contour integral method", APMC/IEEE MTT-S, pp.2083-2086, 2007.
- [6] A. Hashemi, A. Banai, "Analysis of H-plane waveguide discontinuities using hybrid multimode contour integral and mode matching techniques", SBMO/IEEE MTT-S (IMOC2007), pp.840-843, 2007.
- [7] A. Banai, A. Hashemi, "A hybrid multimode contour integral method for analysis of the H-plane waveguide discontinuities", Progress in electromagnetics research, PIER 81, pp.167-182, 2008.
- [8] T. Okoshi, "Planar circuits for microwaves and lightwaves", Springer-Verlag, 1985.
- [9] K. Ise, M. Koshiba, "Equivalent circuits for dielectric posts in a rectangular waveguide", IEEE Trans. Micro. Theo. Tech., Vol.37, No.11, pp.1823-1825, Nov. 1989.